

## **ANEJO 3. MODELIZACIÓN CINÉTICA**



## Número total de partículas

Humedal C2, Junio

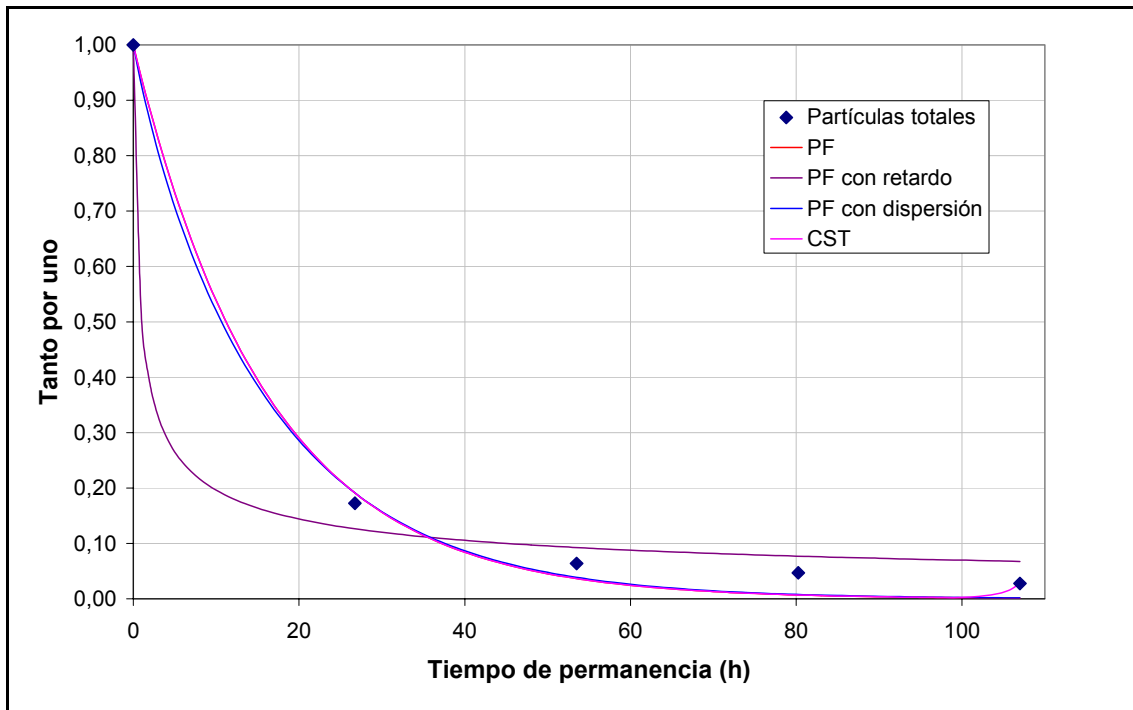


Figura A.3.1: Modelización cinética de la eliminación del número total de partículas en el humedal C2, campaña de junio, según cuatro modelos teóricos.

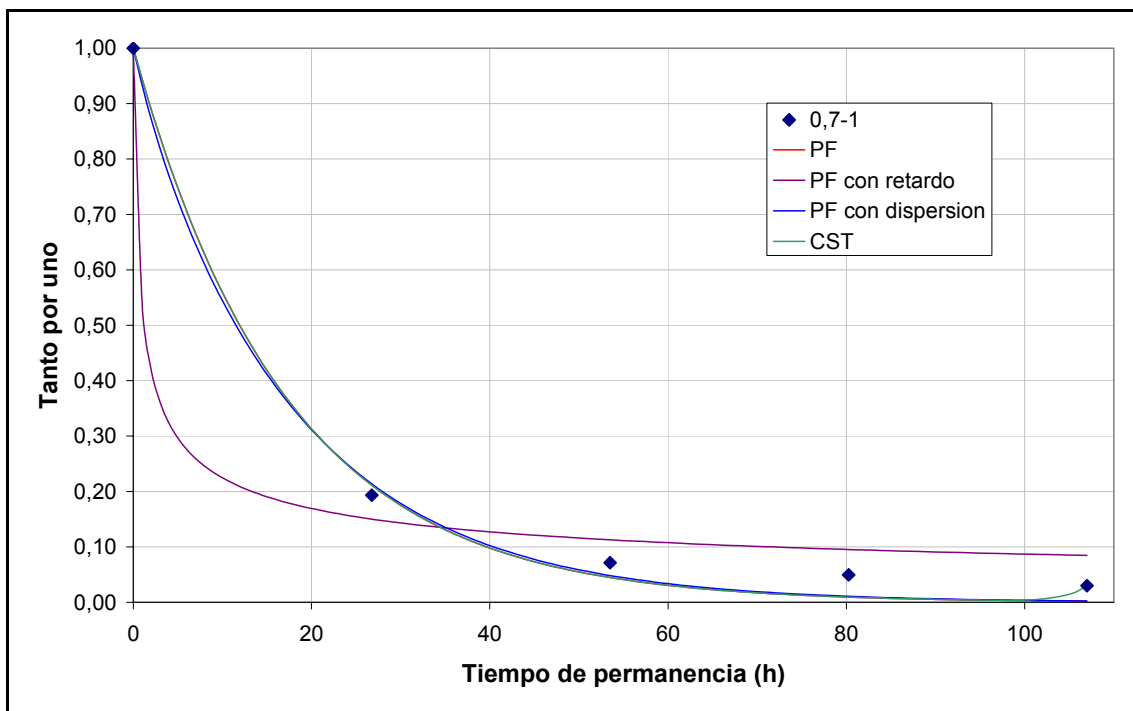


Figura A.3.2: Modelización cinética de la eliminación de partículas entre 0,7 y 1 µm en el humedal C2, campaña de junio, según cuatro modelos teóricos.

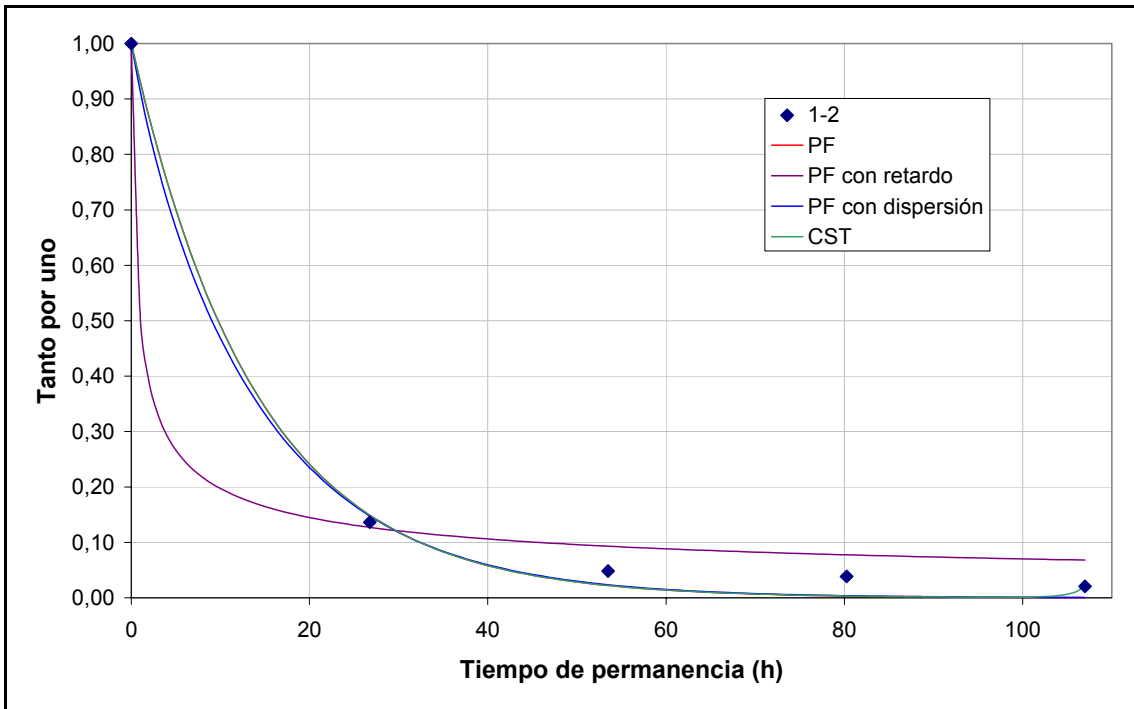


Figura A.3.3: Modelización cinética de la eliminación de partículas entre 1 y 2 µm en el humedal C2, campaña de junio, según cuatro modelos teóricos.

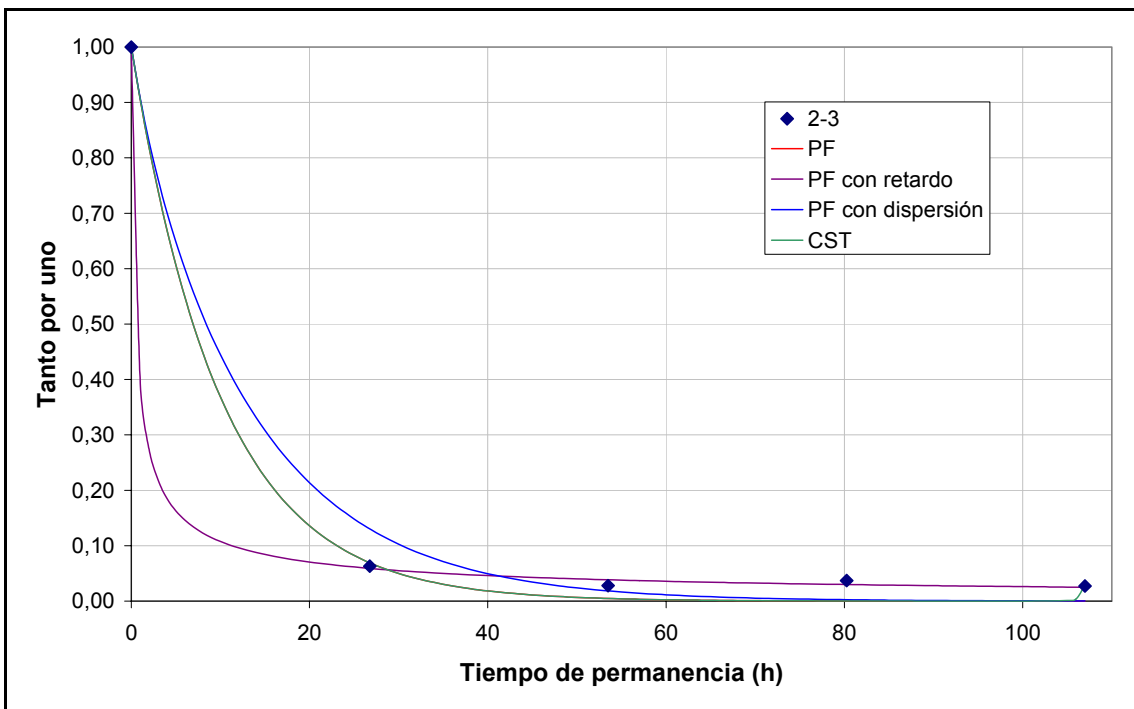


Figura A.3.4: Modelización cinética de la eliminación de partículas entre 2 y 3 µm en el humedal C2, campaña de junio, según cuatro modelos teóricos.

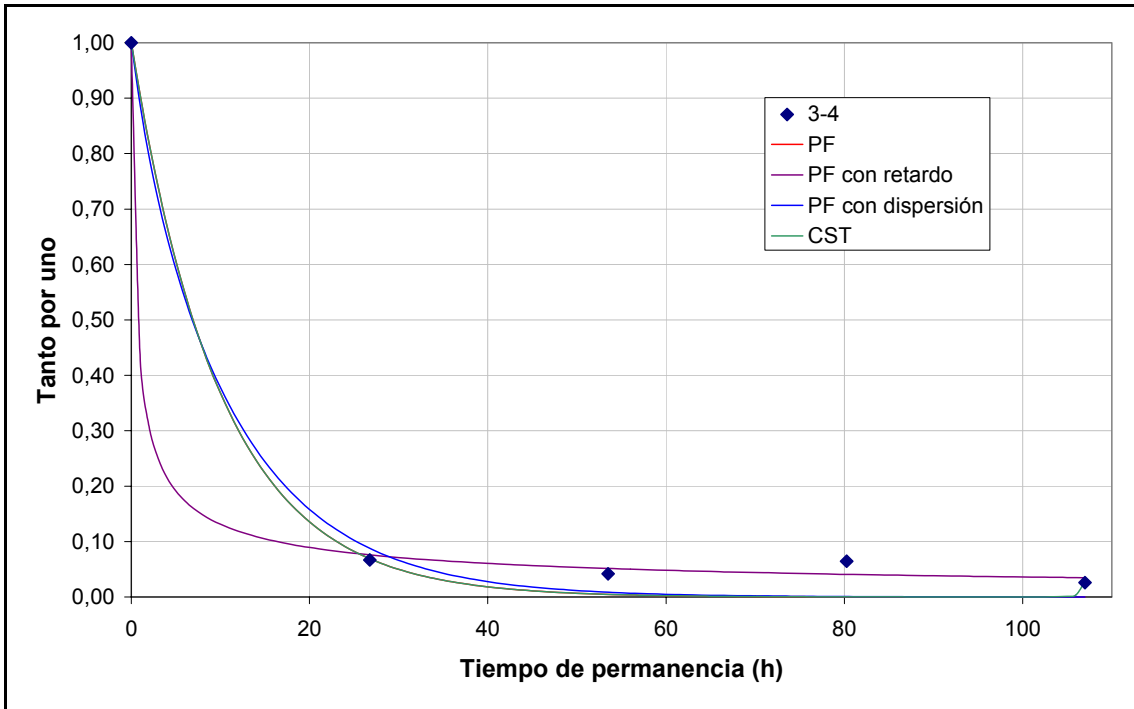


Figura A.3.5: Modelización cinética de la eliminación de partículas entre 3 y 4 µm en el humedal C2, campaña de junio, según cuatro modelos teóricos.

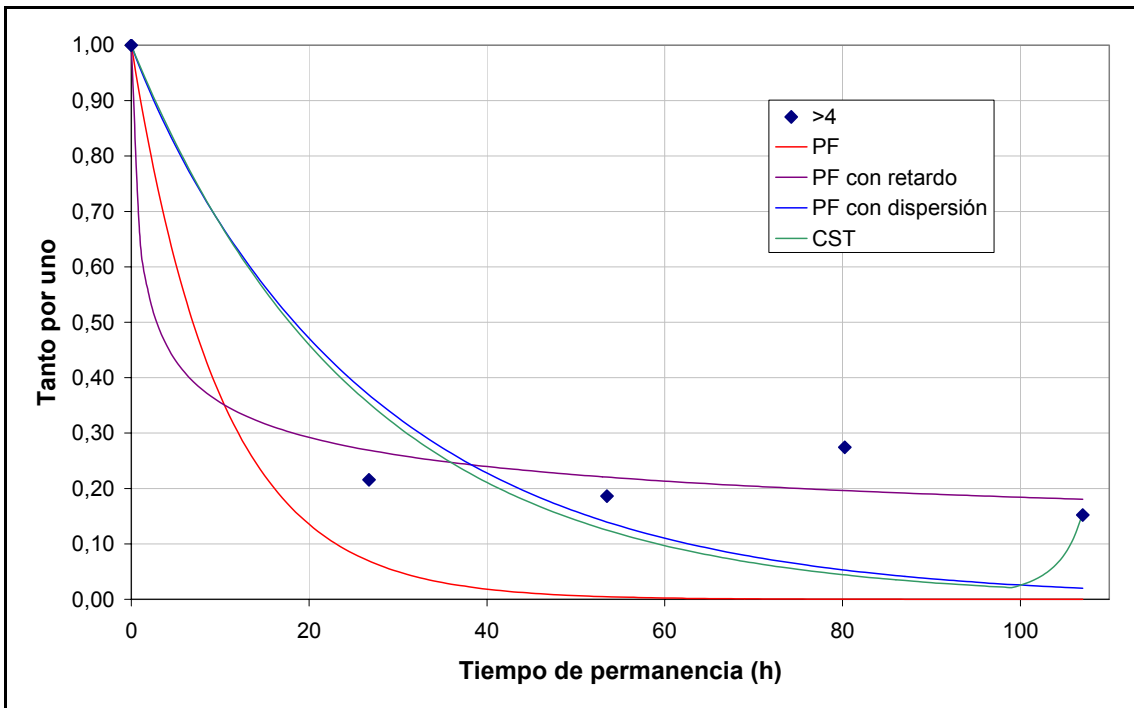


Figura A.3.6: Modelización cinética de la eliminación de partículas mayores a 4 µm en el humedal C2, campaña de junio, según cuatro modelos teóricos.

Humedal D2, Junio

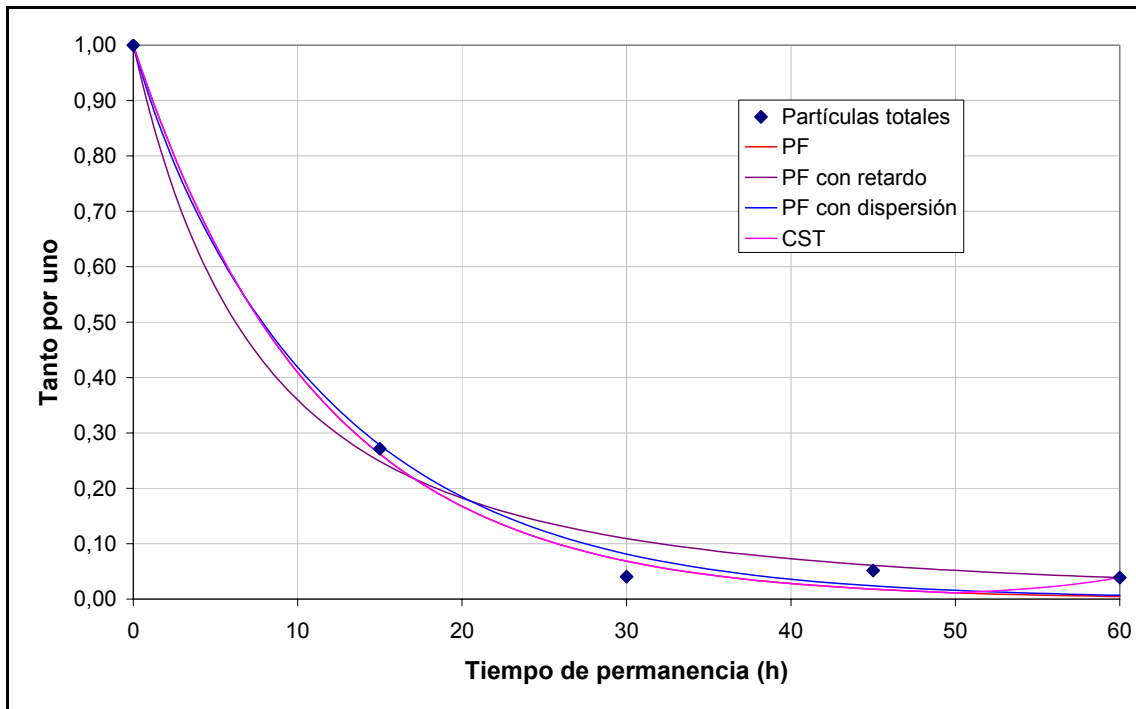


Figura A.3.7: Modelización cinética de la eliminación del número total de partículas en el humedal D2, campaña de junio, según cuatro modelos teóricos.

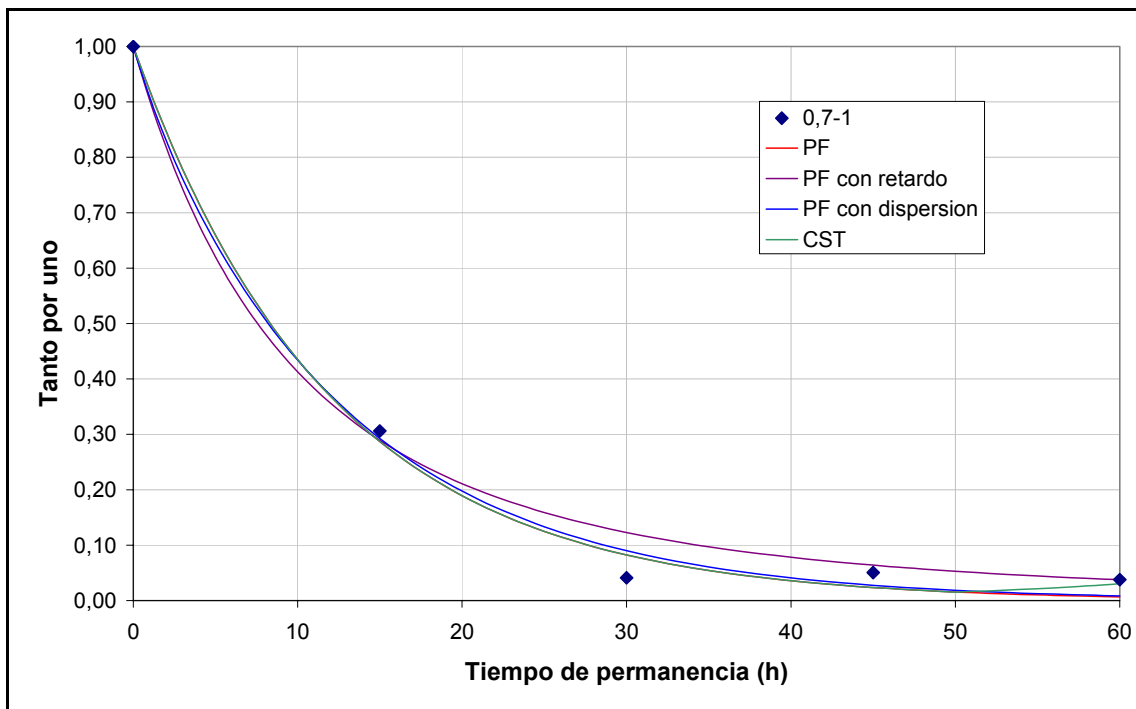


Figura A.3.8: Modelización cinética de la eliminación de partículas entre 0,7 y 1 µm en el humedal D2, campaña de junio, según cuatro modelos teóricos.

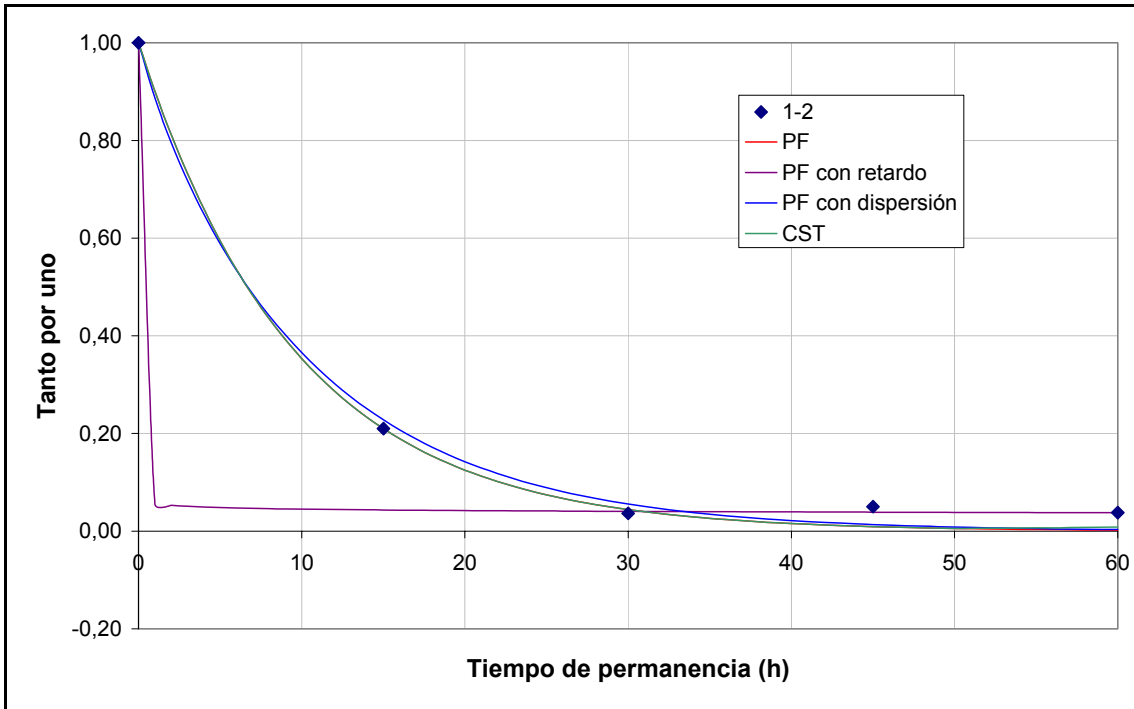


Figura A.3.9: Modelización cinética de la eliminación de partículas entre 1 y 2  $\mu\text{m}$  en el humedal D2, campaña de junio, según cuatro modelos teóricos.

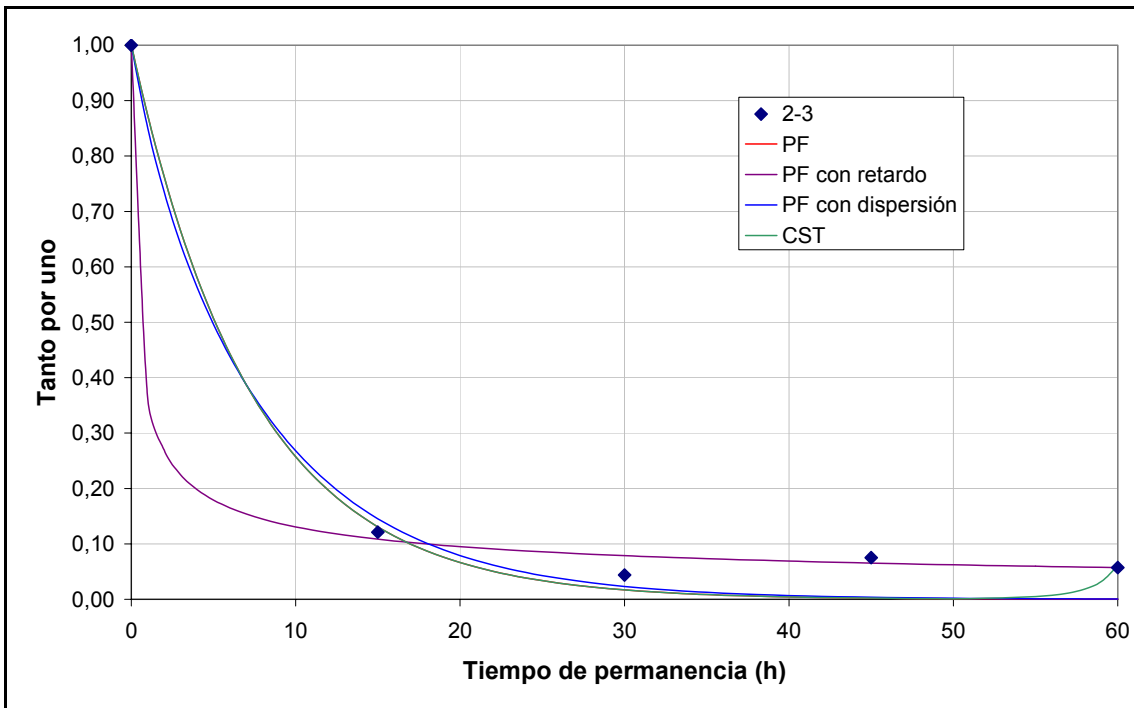


Figura A.3.10: Modelización cinética de la eliminación de partículas entre 2 y 3  $\mu\text{m}$  en el humedal D2, campaña de junio, según cuatro modelos teóricos.

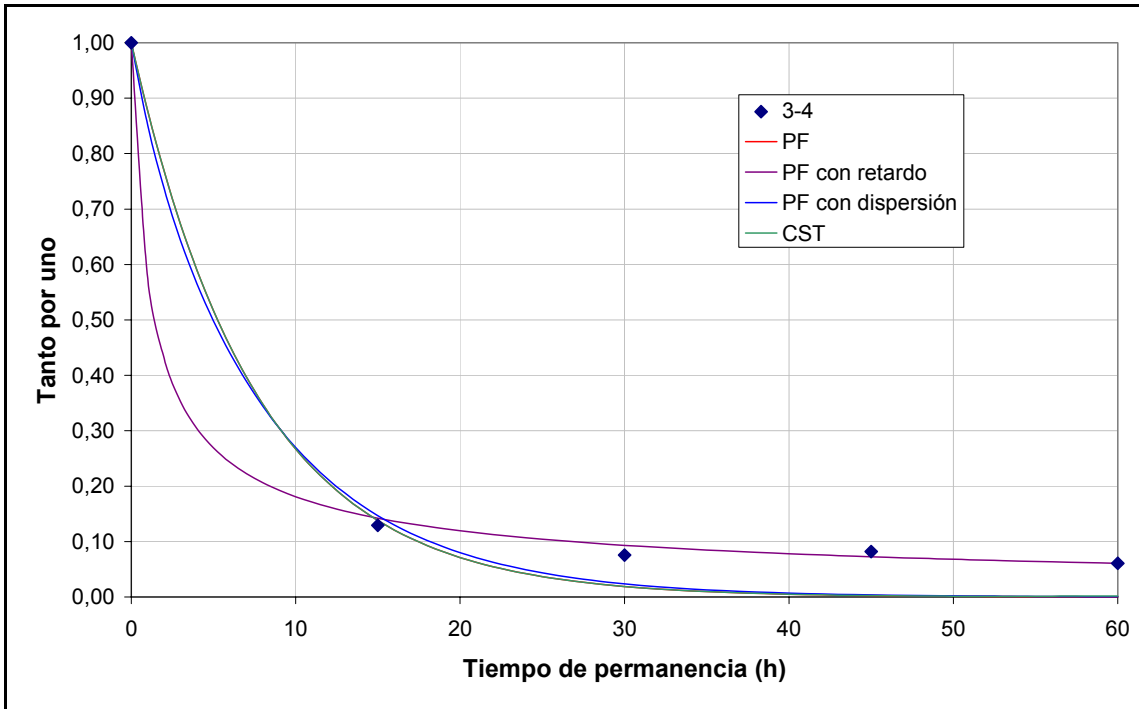


Figura A.3.11: Modelización cinética de la eliminación de partículas entre 3 y 4  $\mu\text{m}$  en el humedal D2, campaña de junio, según cuatro modelos teóricos.

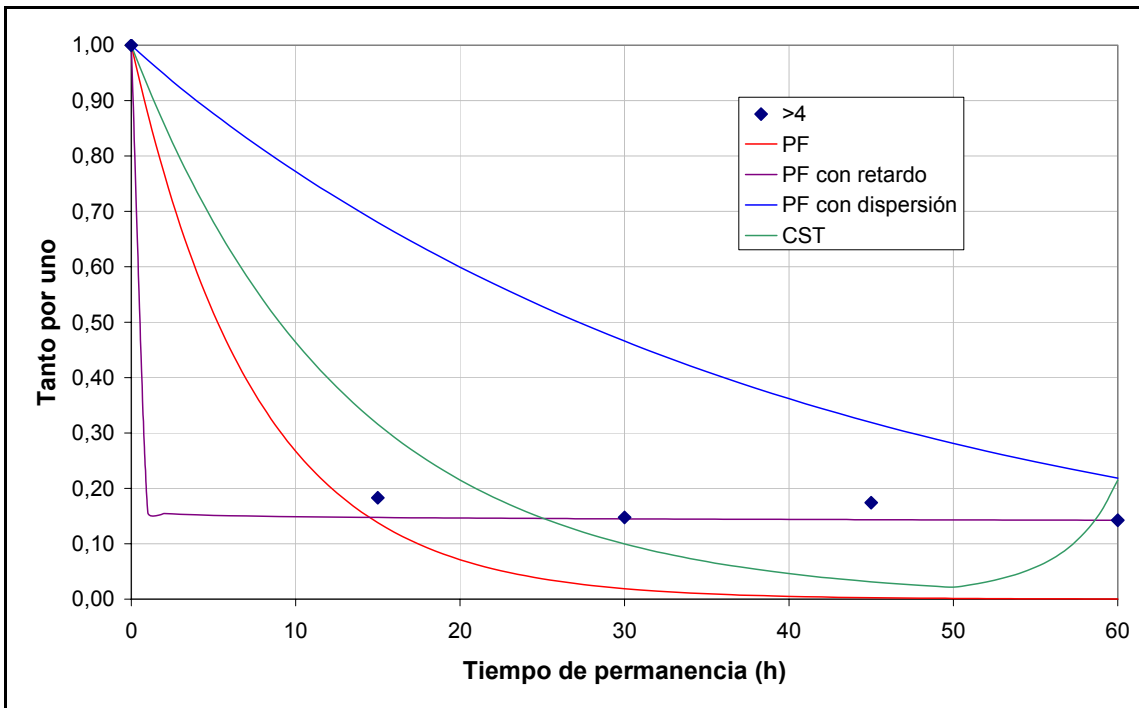


Figura A.3.12: Modelización cinética de la eliminación de partículas mayores a 4  $\mu\text{m}$  en el humedal D2, campaña de junio, según cuatro modelos teóricos.



## Partículas pequeñas

Humedal C2, Junio

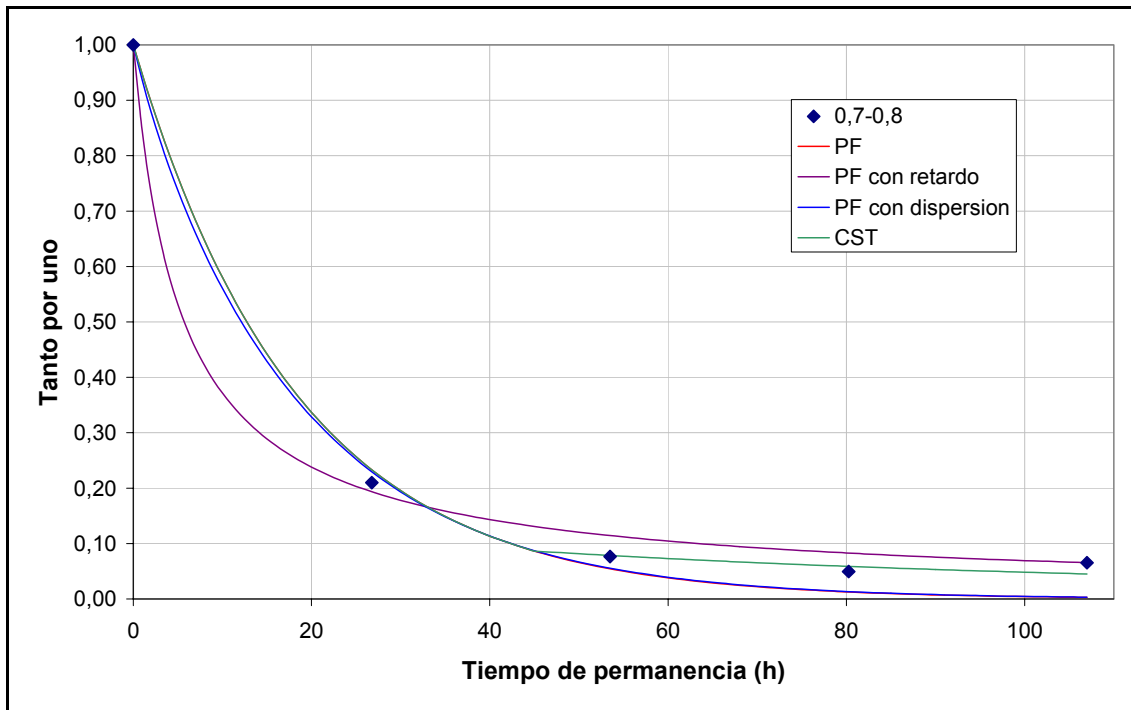


Figura A.3.13: Modelización cinética de la eliminación de partículas entre 0,7 y 0,8  $\mu\text{m}$  en el humedal C2, campaña de junio, según cuatro modelos teóricos.

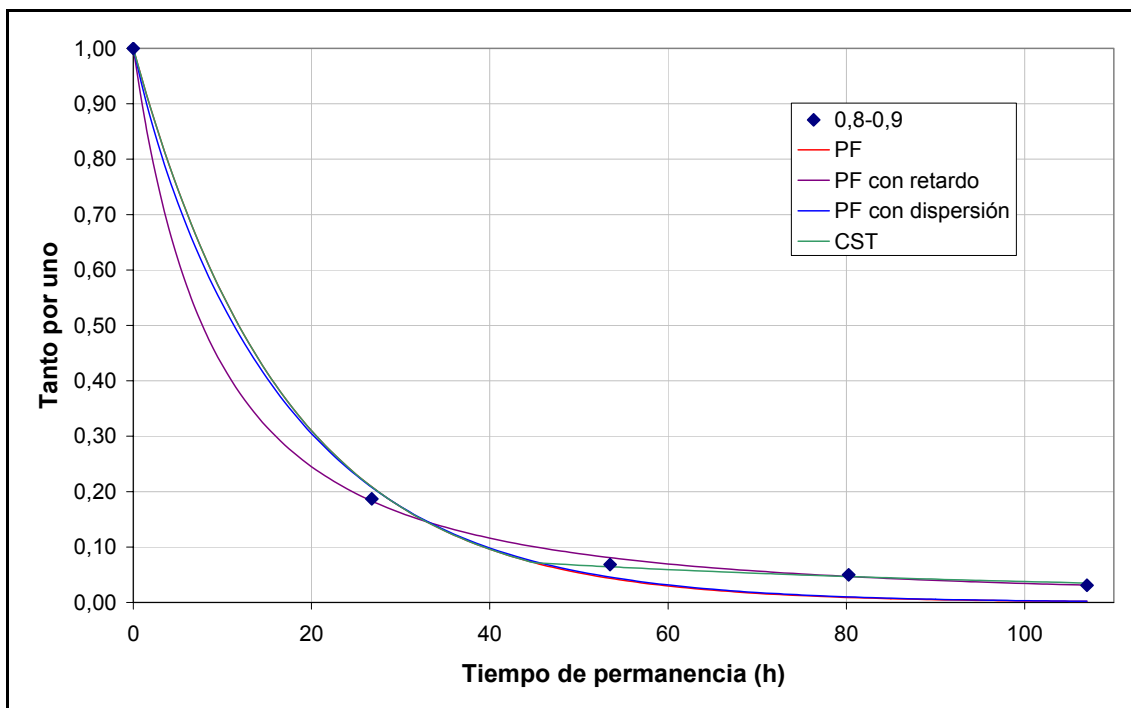


Figura A.3.14: Modelización cinética de la eliminación de partículas entre 0,8 y 0,9  $\mu\text{m}$  en el humedal C2, campaña de junio, según cuatro modelos teóricos.

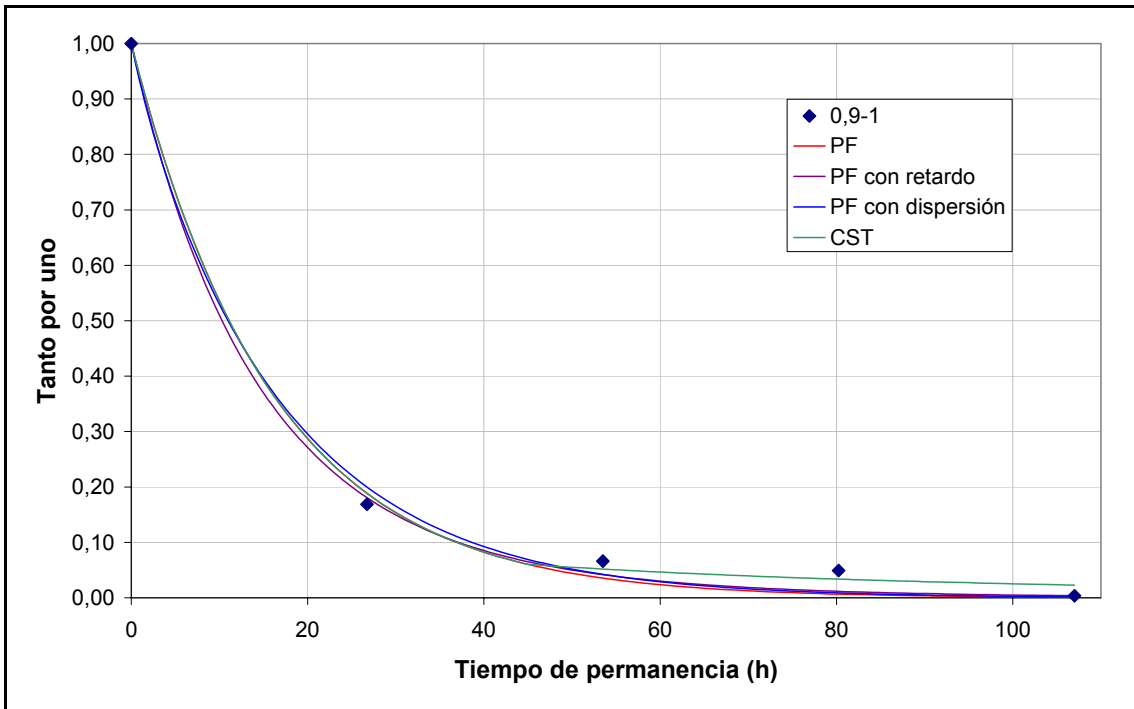


Figura A.3.15: Modelización cinética de la eliminación de partículas entre 0,9 y 1  $\mu\text{m}$  en el humedal C2, campaña de junio, según cuatro modelos teóricos.

### Humedal D2, Junio

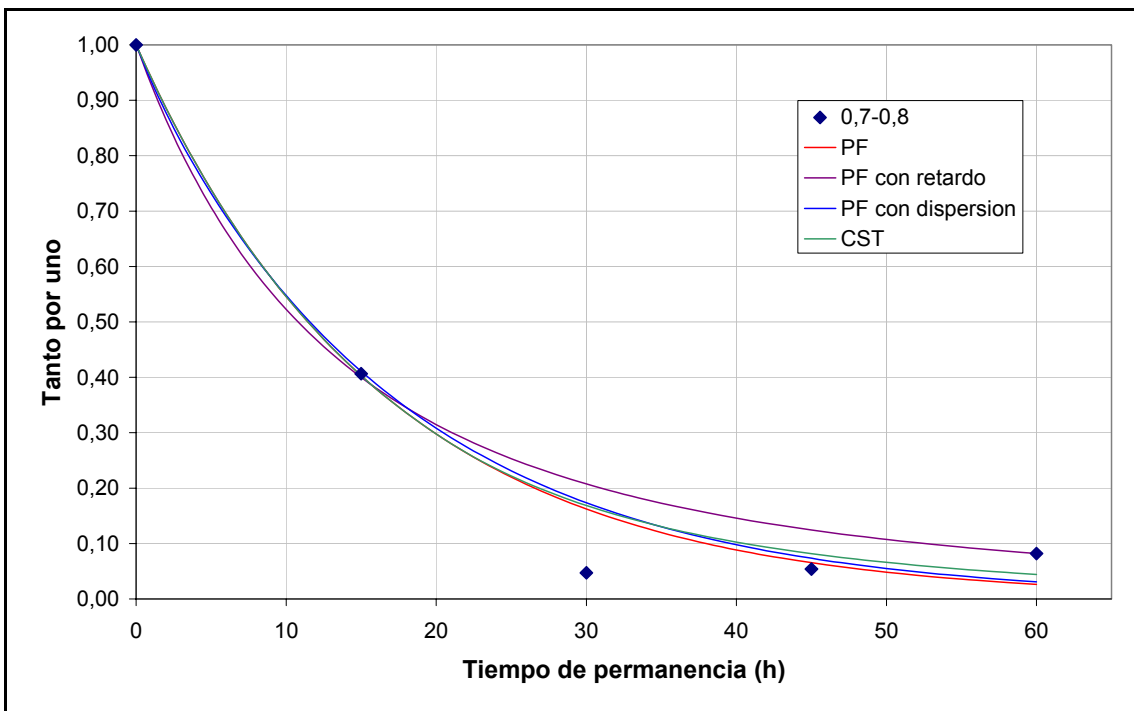


Figura A.3.16: Modelización cinética de la eliminación de partículas entre 0,7 y 0,8  $\mu\text{m}$  en el humedal C2, campaña de junio, según cuatro modelos teóricos.

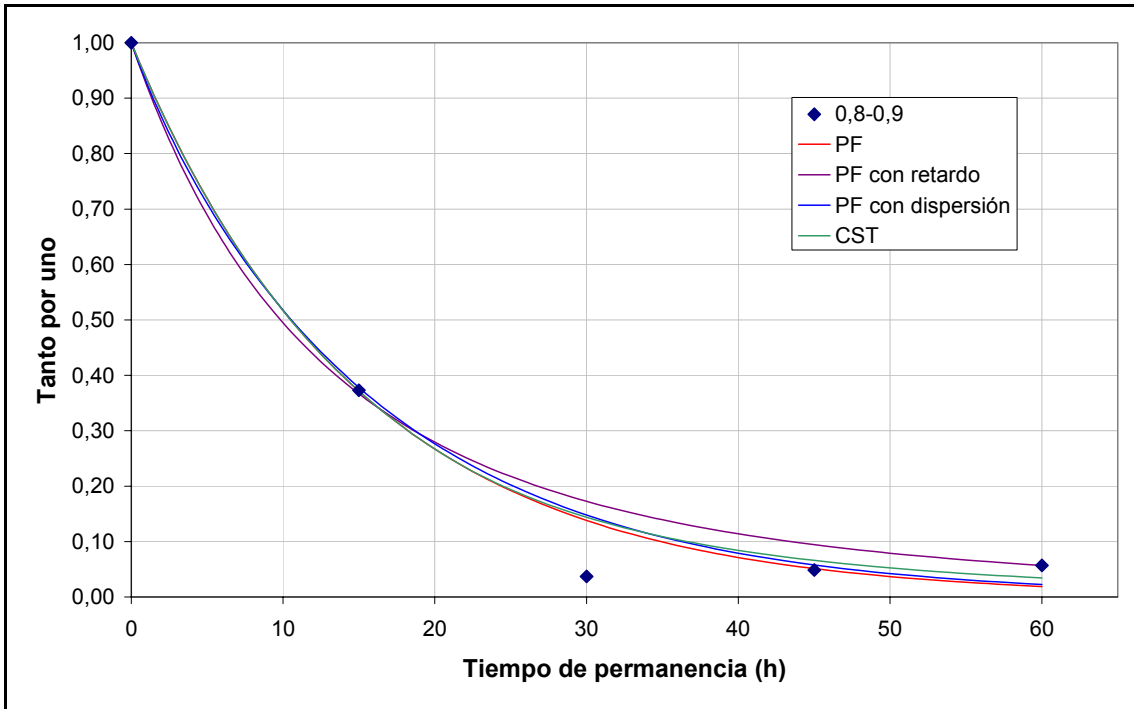


Figura A.3.17: Modelización cinética de la eliminación de partículas entre 0,8 y 0,9  $\mu\text{m}$  en el humedal D2, campaña de junio, según cuatro modelos teóricos.

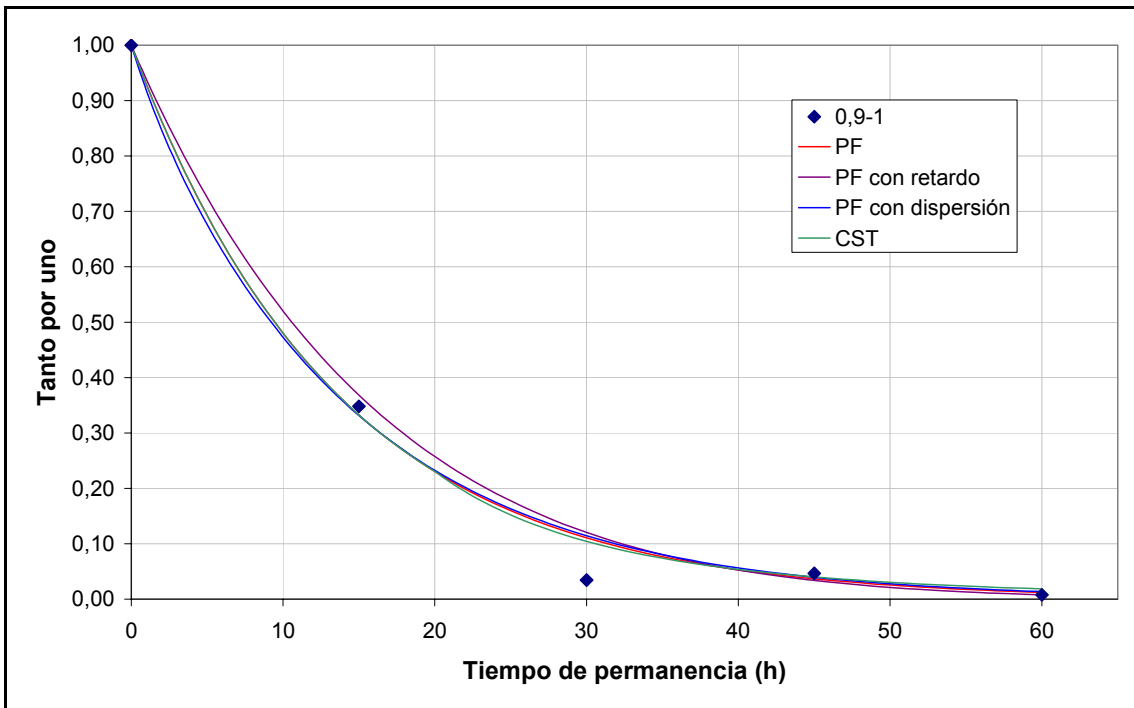


Figura A.3.18: Modelización cinética de la eliminación de partículas entre 0,9 y 1  $\mu\text{m}$  en el humedal D2, campaña de junio, según cuatro modelos teóricos.